

Московский Государственный Университет
имени М. В. Ломоносова

Механико-математический факультет

Кафедра высшей геометрии и топологии

Курсовая работа

Когомологии торических поверхностей

Ведерникова Вероника
403 группа

Научный руководитель:
Панов Т. Е.

2019

СОДЕРЖАНИЕ

1.	Явное вычисление	2
2.	Концептуальное доказательство	3
3.	Вычисление когомологий многообразия V_P	4
3.1.	Элементарный подход	4
3.2.	Вычисление через теорему Данилова–Юркевича	5
3.3.	Сравнение со стандартным заданием когомологий связной суммы	6

1. ЯВНОЕ ВЫЧИСЛЕНИЕ

Поскольку нормальный веер многоугольника не зависит от гомотетий будем считать, что наш многоугольник имеет вершины $\{(-1, 1); (1, -1); (1, 1); (1, 0); (0, -1)\}$ (см. рис. 1)

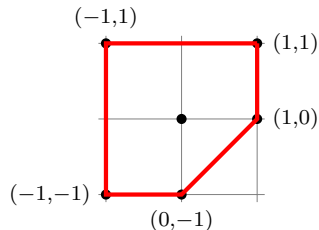


Рис. 1. Многогранник P представляющий собой срезку вершины стандартного квадрата.

Обозначим стандартный базис решётки e_1, e_2 . Тогда лучи нормального веера P будут иметь вид $\{e_1, (e_1 - e_2), -e_2, -e_1, e_2\}$. Максимальные конуса будут соответствовать вершинам многогранника (см. рис. 2)

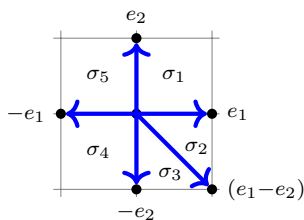


Рис. 2. Нормальный веер Σ многоугольника P .

Опишем теперь двойственные конуса веера Σ и их полугрупповые алгебры:

$$\begin{aligned}\sigma_1^\vee &= \mathbb{Z}_{\geq} \langle e_1^*, e_2^* \rangle; \mathbb{C}[S_{\sigma_1}] = \mathbb{C}[x, y] \\ \sigma_2^\vee &= \mathbb{Z}_{\geq} \langle e_1^* + e_2^*, -e_2^* \rangle; \mathbb{C}[S_{\sigma_2}] = \mathbb{C}[xy, \frac{1}{y}] \\ \sigma_3^\vee &= \mathbb{Z}_{\geq} \langle -e_1^* - e_2^*, e_1^* \rangle; \mathbb{C}[S_{\sigma_3}] = \mathbb{C}[x, \frac{1}{xy}] \\ \sigma_4^\vee &= \mathbb{Z}_{\geq} \langle -e_1^*, -e_2^* \rangle; \mathbb{C}[S_{\sigma_4}] = \mathbb{C}[\frac{1}{x}, \frac{1}{y}] \\ \sigma_5^\vee &= \mathbb{Z}_{\geq} \langle -e_1^*, e_2^* \rangle; \mathbb{C}[S_{\sigma_5}] = \mathbb{C}[\frac{1}{x}, y].\end{aligned}$$

Теперь уже можно на "интуитивном уровне" усмотреть ответ, в самом деле, нас интересует многообразие которое представляет собой $(\mathbb{C}P^1 \times \mathbb{C}P^1) \cup_{U_\sigma} \mathbb{C}P^2$. Можно далее развить эту геометрическую идею (примерно так мы и сделаем в части 2).

Здесь однако мы докажем, что искомое торическое многообразие V_P получается раздутием $\mathbb{C}P^1 \times \mathbb{C}P^1$ в неподвижной точке действия $(\mathbb{C}^\times)^2$. Топологически операция раздутия соответствует вклейке в точку (в более общем случае алгебраическом подмногообразии) проективизации её нормального расслоения. В данном случае нормальное расслоение это в точности \mathbb{C}^2 и его проективизация это $\mathbb{C}P^1 \cong S^2$ и таким образом раздутие соответствует вклейке вместо точки двумерной сферы.

Будем обозначать V_1 торическое многообразие усекаемого квадрата, а через U_0 карту в которой происходит раздутие (она соответствует усекаемой вершине). Рассмотрим явное задание образа этой операции в пространстве $U_0 \times \mathbb{C}P^1$ причём $\widetilde{U}_0 \{ (Q, l) \mid Q \in U_0 \text{ и } P, Q \in l \}$. Причём если координатное кольцо U_0 равно $\mathbb{C}[x, \frac{1}{y}]$, то в результате раздутия мы получим, что уравнения на \widetilde{U}_0 примут вид $\{ ((x, \frac{1}{y}), [z_0 : z_1]) \mid xz_0 + \frac{z_1}{y} = 0 \}$. Это уравнение переписывается как $z_1 = z_0xy$, для двух карт $\mathbb{C}P^1$ это даёт нам в точности карты U_{σ_2, σ_3} нашего торического многообразия. Таким образом мы явно проверили, что $V_P \cong \text{Bl}_p(\mathbb{C}P^1 \times \mathbb{C}P^1)$, где p это точка соответствующая правой нижней вершине нашего квадрата. Теперь легко понять, что $V_P \cong (\mathbb{C}P^1 \times \mathbb{C}P^1) \# \overline{\mathbb{C}P^2}$. В самом деле топологически раздутие это приклейка к границе окрестности точки p двумерной сферы по отображению Хопфа (см. [bura15]). То, что получится будет как раз $\mathbb{C}P^2$ с обращённой ориентацией.

2. КОНЦЕПТУАЛЬНОЕ ДОКАЗАТЕЛЬСТВО

По известному свойству $V_{P_1 \times P_2} \cong V_{P_1} \times V_{P_2}$. Таким образом $V_{\text{квадрат}} \cong \mathbb{C}P^1$ когда мы срезаем вершину, то мы вклеиваем некоторое двумерное алгебраическое многообразие. Определим чему гомеоморфна граница

той окрестности по которой мы клеиваем. Она получается объединением двух многообразий отвечающих лучам нормального веера:

$$\begin{aligned} U_{e_1} &= \text{Spec}(\mathbb{C}[x, y, y^{-1}]) \cong \mathbb{C} \times \mathbb{C}^\times \\ U_{-e_2} &= \text{Spec}(\mathbb{C}[x, y, x^{-1}]) \cong \mathbb{C}^\times \times \mathbb{C} \\ \partial(U_0) &\cong U_{e_1} \cup_{(\mathbb{C}^\times)^2} U_{-e_2} \simeq S^3 \end{aligned}$$

То что, мы клеиваем как раз отвечает стандартному покрытию $\mathbb{C}P^2$ без одной карты. Таким образом мы получаем классическое определение связной суммы и заключаем, что поскольку многообразие имеет комплексную структуру, то $\mathbb{C}P^2$ имеет обращённую ориентацию.

3. ВЫЧИСЛЕНИЕ КОГОМОЛОГИЙ МНОГООБРАЗИЯ V_P

В данном разделе мы вычислим когомологии V_P используя два подхода: точную последовательность Майера–Виеториса (в подразделе 3.1) и общий метод происходящий из теоремы Данилова–Юркевича (в подразделе 3.2). Отметим однако, что первый способ прост лишь для вычисления аддитивной структуры когомологий, в то время как мультипликативная структура гораздо яснее находится вторым методом.

3.1. Элементарный подход. Воспользуемся когомологической точной последовательностью Майера–Виеториса для связной суммы $V_P \cong \mathbb{C}P^1 \times \mathbb{C}P^1 \# \overline{\mathbb{C}P^2}$:

$$(3.1) \quad \begin{aligned} &\dots \leftarrow H^n(S^3) \leftarrow H^n(\mathbb{C}P^1 \times \mathbb{C}P^1 \# \overline{\mathbb{C}P^2}) \leftarrow H^n(\mathbb{C}P^1 \times \mathbb{C}P^1 \vee \mathbb{C}P^2) \leftarrow \\ &\leftarrow H^{n-1}(S^3) \leftarrow H^{n-1}(\mathbb{C}P^1 \times \mathbb{C}P^1 \# \overline{\mathbb{C}P^2}) \leftarrow H^{n-1}(\mathbb{C}P^1 \times \mathbb{C}P^1 \vee \mathbb{C}P^2) \leftarrow \dots \end{aligned}$$

Поскольку когомологии сферы S^3 отличны от нуля лишь в размерностях 0 и 3, то интересным для нас будет лишь случай $n = 3, 4$. Запишем соответствующий кусок точной последовательности

$$\begin{aligned} \dots \leftarrow H^4(S^3) \leftarrow H^4(\mathbb{C}P^1 \times \mathbb{C}P^1 \# \overline{\mathbb{C}P^2}) \leftarrow H^4(\mathbb{C}P^1 \times \mathbb{C}P^1 \vee \mathbb{C}P^2) \leftarrow H^3(S^3) \leftarrow \\ \leftarrow H^3(\mathbb{C}P^1 \times \mathbb{C}P^1 \# \overline{\mathbb{C}P^2}) \leftarrow H^3(\mathbb{C}P^1 \times \mathbb{C}P^1 \vee \mathbb{C}P^2) \leftarrow H^2(S^3) \leftarrow \dots \end{aligned}$$

Вычисляя известные члены переписываем эту последовательность в виде:

$$\dots \leftarrow 0 \leftarrow H^4(\mathbb{C}P^1 \times \mathbb{C}P^1 \# \overline{\mathbb{C}P^2}) \xleftarrow{\alpha} \mathbb{Z} \oplus \mathbb{Z} \xleftarrow{\beta} \mathbb{Z} \xleftarrow{\gamma} H^3(\mathbb{C}P^1 \times \mathbb{C}P^1 \# \overline{\mathbb{C}P^2}) \leftarrow 0 \leftarrow 0 \leftarrow \dots$$

Поскольку связная сумма двух ориентируемых многообразий ориентируема (см. [kosinski2007differential]) (а значит $H^4(V_P) \cong \mathbb{Z}$), мы получаем, что отображение β является мономорфизмом, потому что из \mathbb{Z} в $\mathbb{Z} \oplus \mathbb{Z}$ либо инъекция либо нулевое отображение, а оно ненулевое потому как α сюръективно и у него есть ядро. Поэтому отображение $\gamma = 0$ и таким образом $H^3(V_P) = 0$. Когомологии в оставшихся размерностях даются явно точной последовательностью (3.1). А именно, одномерные когомологии равны 0, ибо в клеточном разбиении $\mathbb{C}P^1 \times \mathbb{C}P^1$ и $\mathbb{C}P^2$ все клетки размерности не меньше двух (кроме одной нульмерной). Вторые

когомологии равны $\mathbb{Z} \oplus \mathbb{Z} \oplus \mathbb{Z}$ в силу точности последовательности и изоморфизмом между $\mathbb{C}P^1 \times \mathbb{C}P^1 \# \overline{\mathbb{C}P^2}$ и $\mathbb{C}P^1 \times \mathbb{C}P^1 \vee \mathbb{C}P^2$. Выпишем получившиеся группы:

$$(3.2) \quad H^n(V_P) = \begin{cases} 0, & \text{если } n > 4; \\ \mathbb{Z}, & \text{если } n = 0, 4; \\ 0, & \text{если } n = 1, 3; \\ \mathbb{Z} \oplus \mathbb{Z} \oplus \mathbb{Z}, & \text{если } n = 2. \end{cases}$$

Мультипликативная структура в когомологиях также может быть найдена из последовательности (3.1), однако мы используем более явное вычисление следующего параграфа, чтобы описать её.

3.2. Вычисление через теорему Данилова–Юркевича.

Теорема 3.1 ([бура15]). Пусть V_P торическое многообразие соответствующее полному Дельзантову многоугольнику P в двумерной решётке M . Кольцо когомологий V_P тогда задаётся представлением:

$$H^*(V_P) \cong \mathbb{Z}[v_1, \dots, v_m] / \mathcal{I},$$

где v_1, \dots, v_m соответствуют рёбрам многоугольника P , а \mathcal{I} порождён двумя типами соотношений:

- (a) $v_{i_1} v_{i_2}$, для несмежных рёбер многоугольника P ;
- (b) $\sum_{i=1}^m \langle \mathbf{a}_i, u^* \rangle v_i$, для всех $u^* \in M$, где \mathbf{a}_i это одномерные образующие нормального веера многоугольника P .

Используя эту теорему и вычисления сделанные в части 1, находим структуру идеала \mathcal{I} . Квадратичные соотношения принимают вид

$$v_1 v_3; v_1 v_4, v_2 v_4; v_2 v_5; v_3 v_5.$$

Найдём линейные соотношения: пусть вектор $u^* \in M$ записан в базисе этой решётки как $u^* = a e_1^* + b e_2^*$. Тогда пункт (b) даст нам следующее соотношение общего вида:

$$a v_1 + (a - b) v_2 - b v_3 - a v_4 + b v_5, \quad a, b \in \mathbb{Z}.$$

Замечание. В явном виде приведённая выше формула получается следующим вычислением:

$$\begin{aligned} & \langle e_1, a e_1^* + b e_2^* \rangle + \langle e_1 - e_2, a e_1^* + b e_2^* \rangle + \langle -e_2, a e_1^* + b e_2^* \rangle + \\ & + \langle -e_1, a e_1^* + b e_2^* \rangle + \langle e_2, a e_1^* + b e_2^* \rangle = \\ & = a v_1 + (a - b) v_2 - b v_3 - a v_4 + b v_5. \end{aligned}$$

Подставляя в него различные значения a и b получаем следующие два соотношения: $v_1 + v_2 - v_4$ и $v_2 + v_3 - v_5$. Из этих соотношений следует, что квадратичные соотношения можно, исключая переменные v_4, v_5

переписать как

$$\begin{aligned} v_1v_4 &= v_1^2 + v_1v_2; \\ v_2v_4 &= v_2^2 + v_1v_2; \\ v_2v_5 &= v_2^2 + v_2v_3; \\ v_3v_5 &= v_3^2 + v_2v_3. \end{aligned}$$

И далее получаем, что можно рассмотреть новый набор образующих идеала \mathcal{I} :

$$\begin{aligned} &v_1^2 + v_1v_2; v_2^2 + v_1v_2; \\ &v_2v_4 - v_2v_5 = v_1v_2 - v_2v_3; v_3v_5 + v_2v_4 - v_2v_5 = v_3^2 + v_1v_2. \end{aligned}$$

Таким образом кольцо когомологий V_P имеет вид:

$$H^*(V_P) \cong \mathbb{Z}[v_1, v_2, v_3]/(v_1^2 + v_1v_2, v_2^2 + v_1v_2, v_1v_2 - v_2v_3, v_3^2 + v_1v_2).$$

Из этой формулы следует, что все мономы в градуировке больше 4-х и нечётных градуировках равны 0 и кроме того понятно, что $H^2(V_P) = \mathbb{Z} \oplus \mathbb{Z} \oplus \mathbb{Z}$, наконец в размерности 4 получаем, что когомологии одномерны поскольку все классы пропорциональны по модулю \mathcal{I} классу v_1v_2 .

Таким образом доказано следующее:

Предложение 3.2. *Торическое многообразие соответствующее многоугольнику изображённому на рис. 1 диффеоморфно $\mathbb{C}P^1 \times \mathbb{C}P^1 \# \overline{\mathbb{C}P^2}$. Кольцо когомологий этого многообразия имеет вид:*

$$H^*(V_P) \cong \mathbb{Z}[v_1, v_2, v_3]/(v_1^2 + v_1v_2, v_2^2 + v_1v_2, v_3^2 + v_1v_2, v_1v_2 - v_2v_3).$$

3.3. Сравнение со стандартным заданием когомологий связной суммы. Как мы установили V_P суть раздутие $\mathbb{C}P^1 \times \mathbb{C}P^1$ в T -неподвижной точке отвечающей конусу $\sigma_0 = \mathbb{Z}_{\geq} \langle e_1, -e_2 \rangle$. Подгруппа когомологических двумерных классов происходящих из $\mathbb{C}P^1 \times \mathbb{C}P^1$ состоит из классов двойственных тем T -инвариантным дивизорам на многообразии V_P , которые происходят из $\mathbb{C}P^1 \times \mathbb{C}P^1$. Подгруппа таких классов порождена классами двойственными дивизорам отвечающим лучам $-e_1, e_2$ т.е. переменными v_4, v_5 . В то же время кольцо когомологий $\overline{\mathbb{C}P^2}$ порождено классом когомологий двойственным исключительно дивизору раздутия (т.е. соответствующему лучу $e_1 - e_2$), этот класс отвечает $-v_2$. Таким образом мы можем записать:

$$\boxed{u_1 = v_4; u_2 = v_5; w = -v_2.}$$

Проверим соотношения ожидаемые от когомологий связной суммы:

$$\begin{cases} u_1^2 = v_4^2 = (v_1 + v_2)^2 = (v_1^2 + v_1v_2) + (v_2^2 + v_1v_2) = 0 \\ u_2^2 = v_5^2 = (v_2 + v_3)^2 = (v_2^2 + v_3v_2) + (v_3^2 + v_2v_3) = 0 \\ u_1u_2 = (v_1 + v_2)(v_2 + v_3) = (v_2^2 + v_1v_2) + v_1v_3 + v_2v_3 = \\ = v_2v_3 = (v_2v_3 + v_2^2) - v_2^2 = -v_2^2 = -w^2 \\ u_1w = -(v_1 + v_2)v_2 = -(v_2^2 + v_1v_2) = 0 \\ u_2w = -(v_2 + v_3)v_2 = -(v_2^2 + v_2v_3) = 0 \end{cases}$$

Таким образом мы получили изоморфизм колец:

$$H^*(VP) = \mathbb{Z}[u_1, u_2, w]/(u_1^2 = u_2^2 = 0; u_1u_2 = -w^2; u_1w = u_2w = 0).$$

Остаётся выразить образующие исходного кольца через u_1, u_2 и w . Используя линейные соотношения из теоремы (т.е. $v_1 + v_2 - v_4 = 0$ и $v_2 + v_3 - v_5 = 0$) получаем, что

$$\boxed{v_1 = u_1 + w; v_2 = -w; v_3 = u_2 + w; v_4 = u_1; v_5 = u_2.}$$

Список литературы:

Victor Buchstaber и Taras Panov. Toric Topology. В: (2012). eprint:arXiv:1210.2368.

A.A. Kosinski. Differential Manifolds. Dover Book on Mathematics. Dover

Publications, 2007. isbn: 9780486462448. url: <https://books.google.ru/books?id=L1B2dJ2j6h0C>.